

Farina et al.
DCS-9160 CIP

Fig. 1

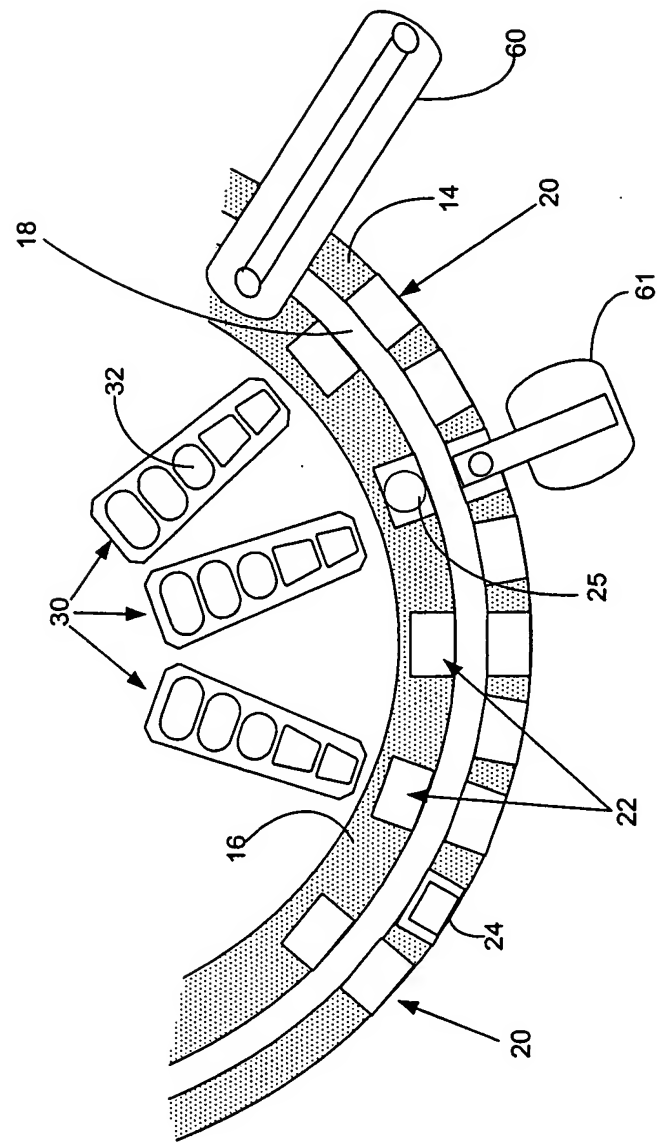
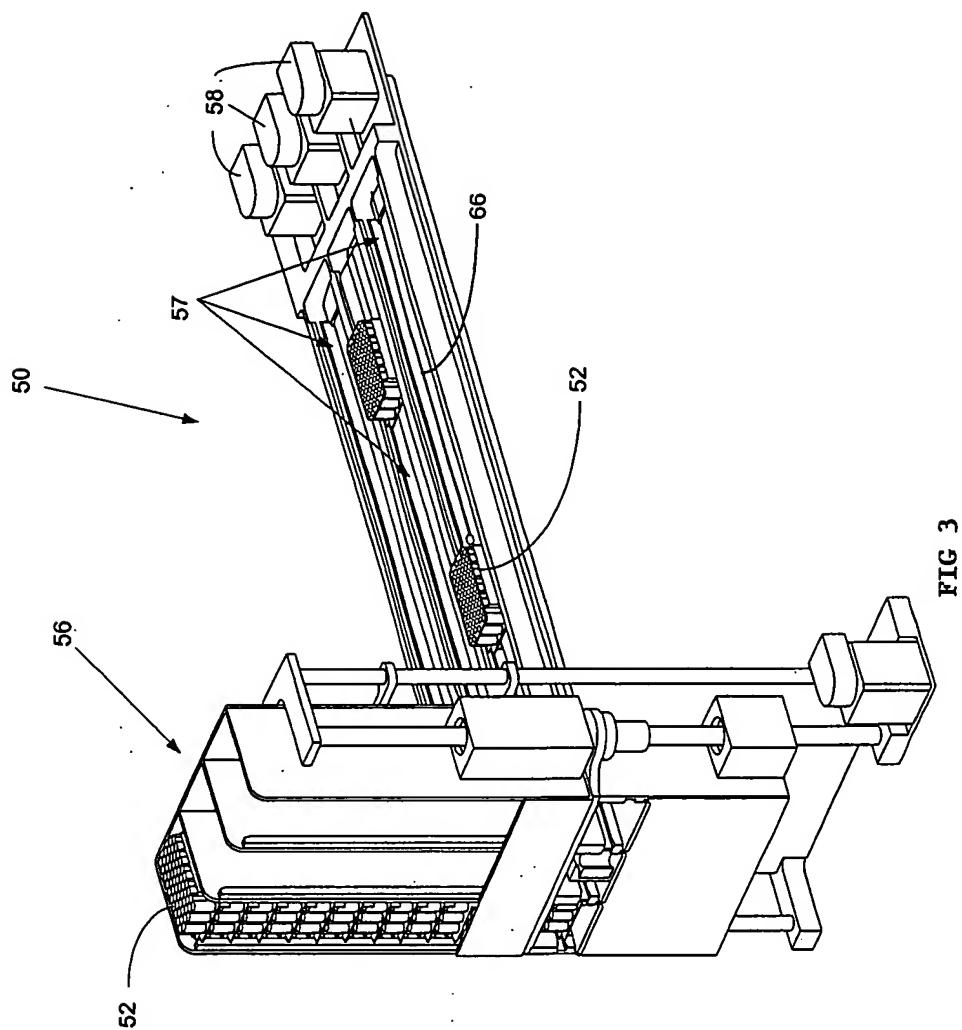


Fig. 2

3/12



4/12

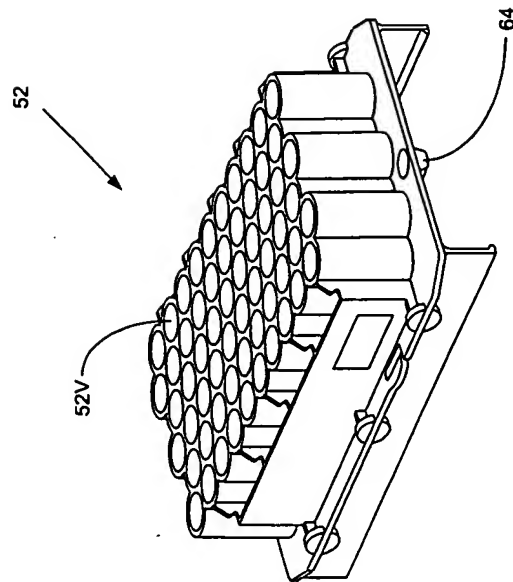


FIG. 4

5/12

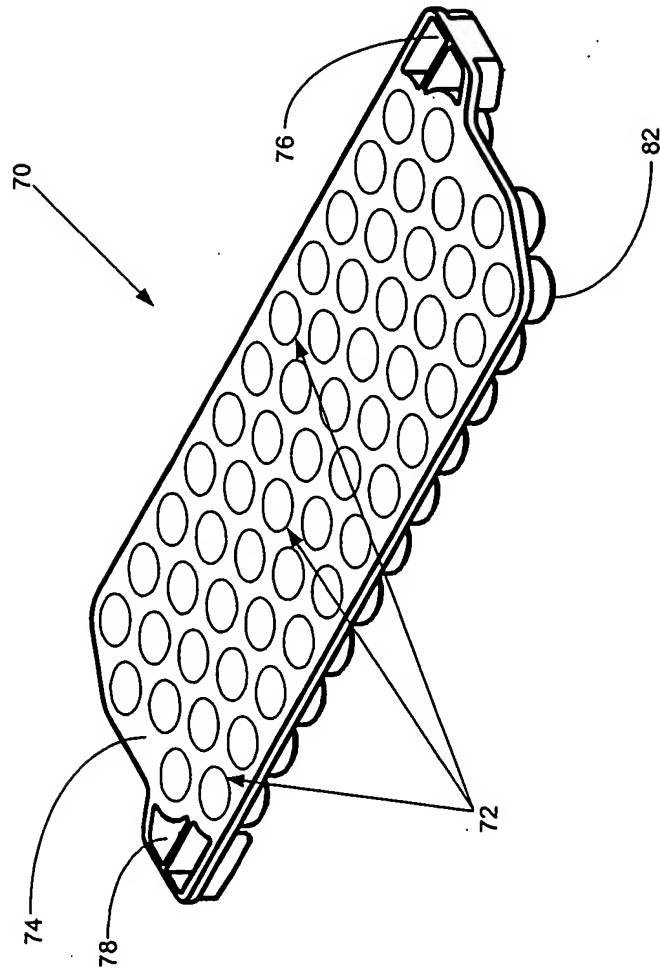


Fig. 5

6/12

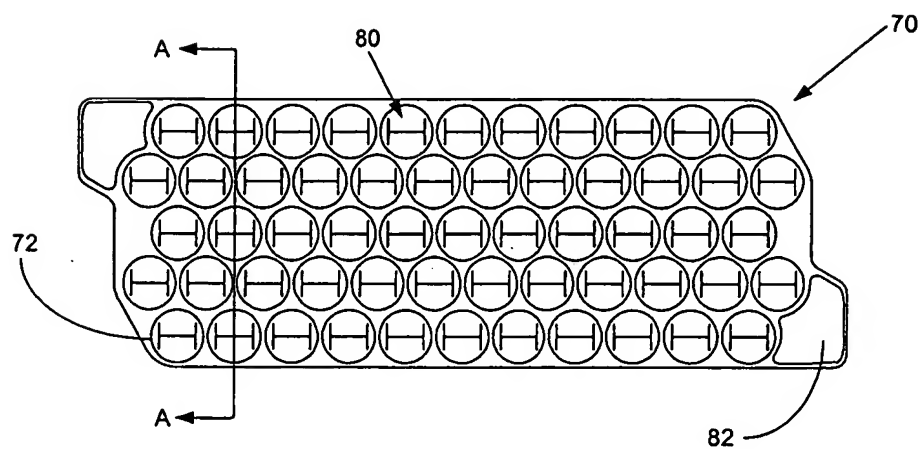


FIG. 6

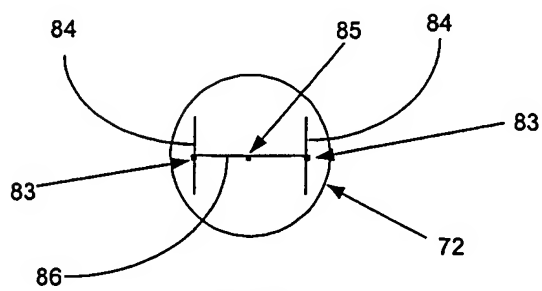


FIG. 6A

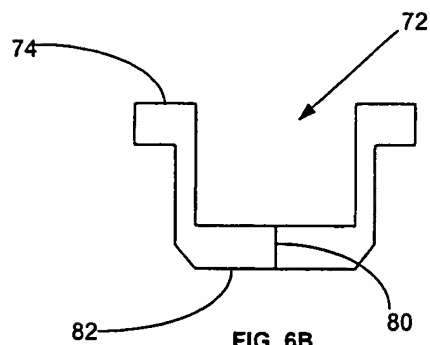


FIG. 6B

7/12

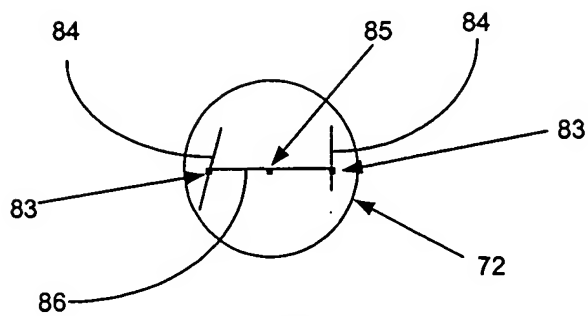


FIG. 6C

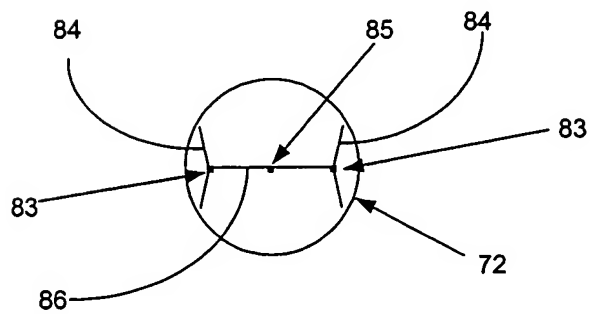


FIG. 6D

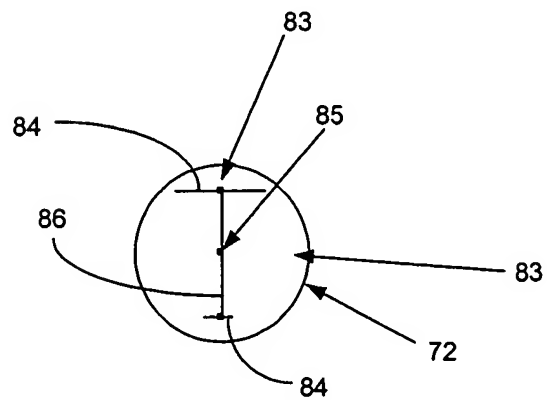


FIG. 6E

8/12

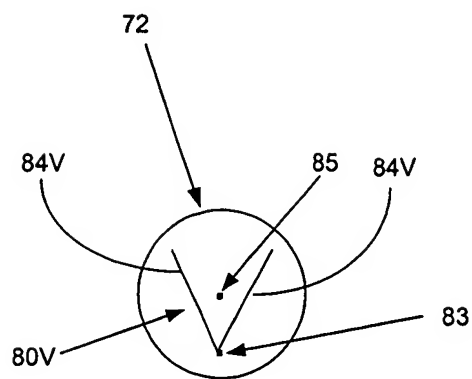


FIG. 6F

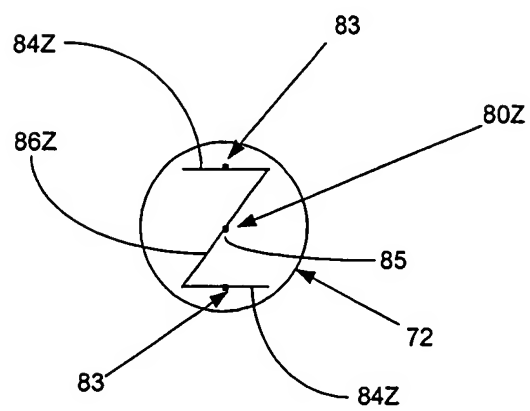


FIG. 6G

9/12

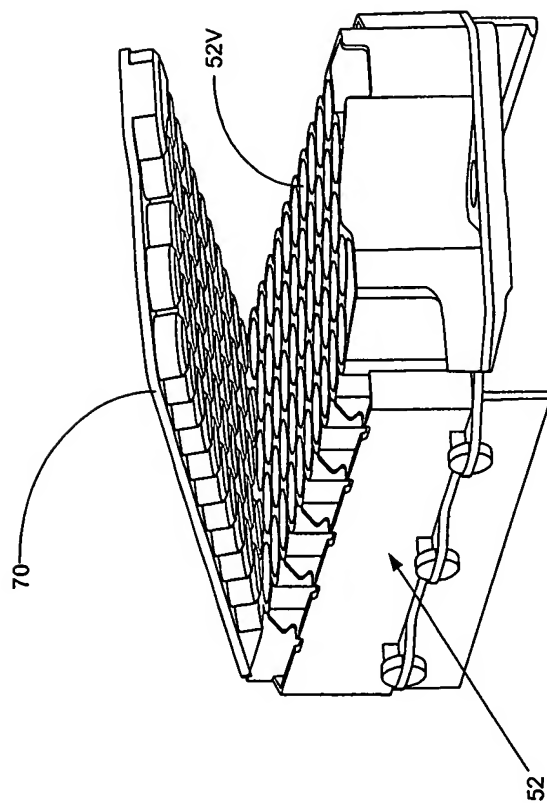


Fig. 7

10/12

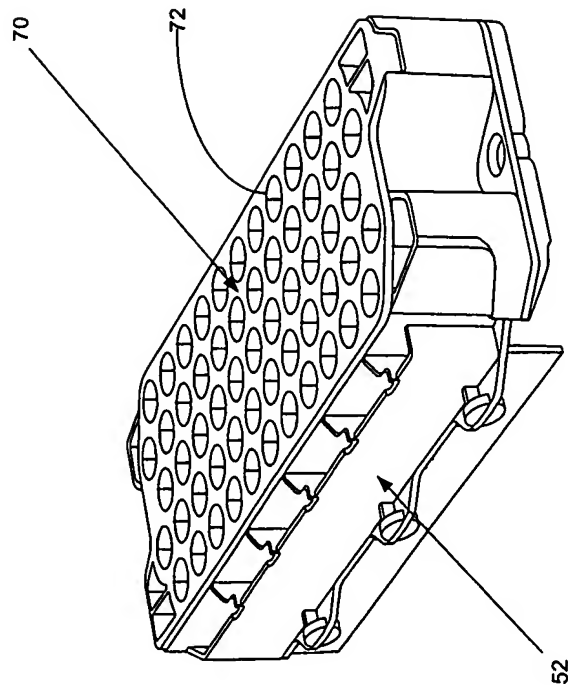
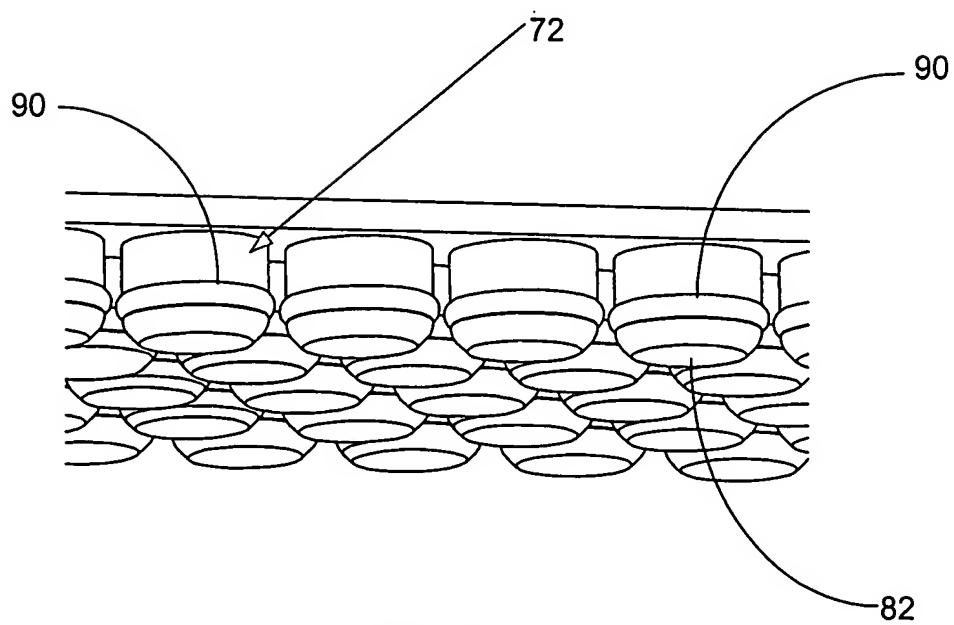
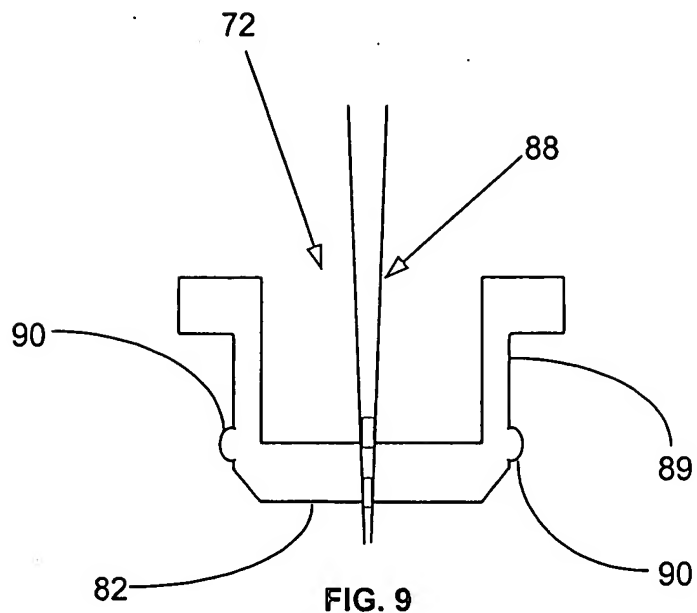


FIG. 8

11/12



12/12

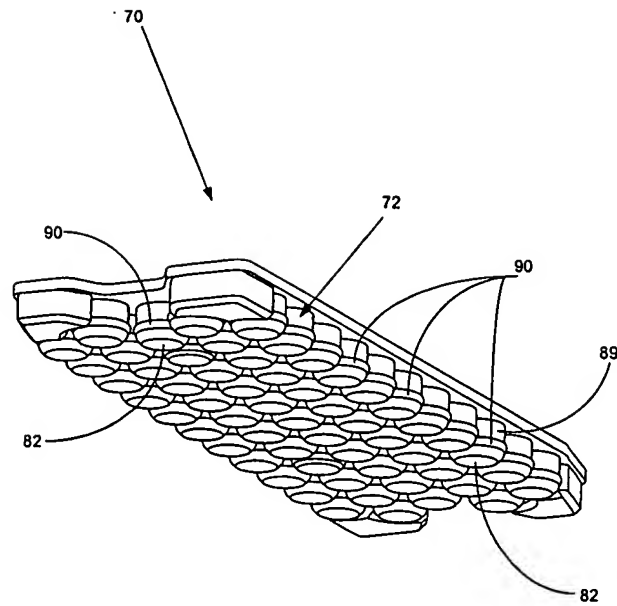


FIG. 11